



Numéro d'inscription

Numéro de table

Né(e) le

Nom : \_\_\_\_\_

Prénom : \_\_\_\_\_

Emplacement  
QR Code

Filière : **PSI**

Session : **2024**

Épreuve de : **Sciences Industrielles de l'Ingénieur**

Consignes

- Remplir soigneusement l'en-tête de chaque feuille avant de commencer à composer
- Rédiger avec un stylo non effaçable bleu ou noir
- Ne rien écrire dans les marges (gauche et droite)
- Numéroté chaque page (cadre en bas à droite)
- Placer les feuilles A3 ouvertes, dans le même sens et dans l'ordre

PSI7SI

## DOCUMENT RÉPONSE

Ce Document Réponse doit être rendu dans son intégralité.

# PINCE BRUCELLES INSTRUMENTÉE HAPTIQUE DE MICRO-MANIPULATION

### Q1 - Cas d'utilisation et actions mécaniques appliquées sur la pince

	Manuelle	Collaborative	Maître	Esclave
$F_u$	X	X	X	
$F_o$	X	X		X
$C_m$		X	X	X

### Q2 - Sous-exigence essentielle dans le cas d'utilisation manuelle

Il faut respecter l'exigence **id = "1.5"** associée à une condition de **réversibilité**.

### Q3 - Chaînes de puissance et d'information

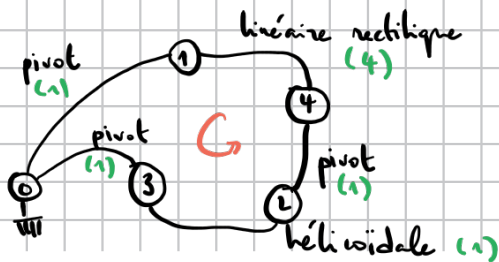
- |                               |                                       |
|-------------------------------|---------------------------------------|
| 1: Moteur DC brushless        | 5: Position angulaire de l'axe moteur |
| 2: Vis - Écrou à billes       | 6: Puissance électrique               |
| 3: Galets - Came              | 7: Puissance mécanique de rotation    |
| 4: Capteur rotatif magnétique | 8: " " " translation                  |

Q4 - Montrer que  $\vec{\Omega}(2/0) = \vec{0}$ . Nature du mouvement de 2 par rapport à 0

• D'une part :  $\vec{\Omega}_{2/0} = \vec{\Omega}_{2/3} + \vec{\Omega}_{3/0} = \omega_{23} \vec{x}_0 + \dot{\theta}_3 \vec{x}_0 = \omega_{20}^x \vec{x}_0$   
 • D'autre part :  $\vec{\Omega}_{2/0} = \vec{\Omega}_{2/4} + \vec{\Omega}_{4/1} + \vec{\Omega}_{1/0} = \omega_{24} \vec{z}_0 + \omega_{41}^y \vec{y}_2 + \omega_{10}^z \vec{z}_2 + \dot{\alpha} \vec{z}_0 = \omega_{20}^z \vec{z}_0 + \omega_{20}^y \vec{y}_2$   
 Donc :  $\vec{\Omega}_{2/0} = \omega_{20}^x \vec{x}_0 = \omega_{20}^z \vec{z}_0 + \omega_{20}^y \vec{y}_2$  donc  $\vec{\Omega}_{2/0} \cdot \vec{z}_2 = \omega_{20}^z \cos(\alpha + \beta) = 0$  puis  $\vec{\Omega}_{2/0} \cdot \vec{y}_2 = 0 = \omega_{20}^y$  et  $\vec{\Omega}_{2/0} \cdot \vec{z}_0 = 0$   
 Pense :  $\vec{\Omega}_{2/0} = \vec{0}$

Le solide 2 est donc en translation par rapport à 0 (ici, c'est une translation rectiligne de direction  $\vec{x}_0$ ).

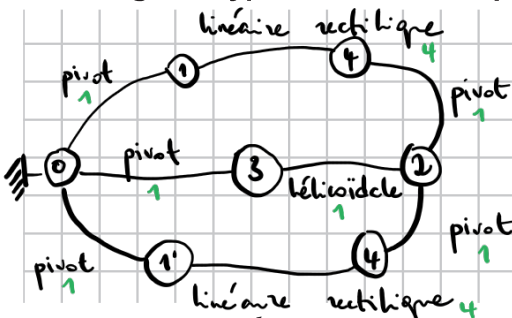
Q5 - Degré d'hyperstatisme de la demi-pince



$$h = E_c - I_c + m$$

où  $E_c = 6$  et donc  $h = 0$   
 $I_c = 8$   
 $m = 1$  utile  
 + 1 interne (rotat° guet 4)

Q6 - Degré d'hyperstatisme de la pince complète. Comparaison avec Q5



$I_c = 14$   
 $E_c = 12$   
 $m' = 1$  utile + 2 internes = 3

Donc :  $h' = 1 > h$  : il y a une contrainte géométrique de montage liée à la symétrie du mécanisme et au positionnement angulaire de 2 autour de l'axe  $(0, \vec{x}_0)$

Q7 - Ouverture  $d$  en fonction de l'angle  $\alpha$  et des données constantes

$$d = 2 \cdot \vec{OB} \cdot \vec{y}_0 = 2 \cdot (\vec{OA} + \vec{AB}) \cdot \vec{y}_0 = 2 \cdot (y_A + x_B \vec{z}_1 \cdot \vec{y}_0 + y_B \vec{j}_1 \cdot \vec{y}_0)$$

$$d = 2 \cdot (y_A + x_B \sin \alpha + y_B \cos \alpha)$$

Q8 - Justification de l'allure de la courbe et valeurs de  $a$  et  $b$  tels que  $d = a\alpha + b$

Ici  $\alpha \ll 1$  et donc  $\sin \alpha \approx \alpha$  et  $\cos \alpha \approx 1$ , on a donc :

$$d \approx 2 \cdot (y_A + y_B + r_B \cdot \alpha) \quad (\text{droite affine})$$

Avec  $d = a \cdot \alpha + b$ , je relève :  $b \approx 8,7 \text{ mm} \approx 8,7 \cdot 10^{-3} \text{ m}$

$$a \approx \frac{0 - 8,7}{0,045 - 0} \approx -180 \text{ mm/rad}$$

$$\approx -0,18 \text{ m/rad}$$

Q9 - Déplacement de l'écrou  $x_D$  en fonction de l'angle  $\alpha$ . Expressions de  $d_1$ ,  $d_2$ ,  $d_3$  et de  $d_4$

Écrivons  $\vec{OD} + \vec{DC} + \vec{CI} + \vec{IE} + \vec{EA} + \vec{AO} = \vec{0}$

Donc  $x_D \cdot \vec{x}_0 + x_C \cdot \vec{x}_0 + y_C \cdot \vec{y}_0 + R_g \cdot \vec{y}_2 - x_I \cdot \vec{x}_2 - x_E \cdot \vec{x}_1 - y_A \cdot \vec{y}_0 = \vec{0}$

En projection sur  $\vec{y}_2$  :  $-(x_D + x_C) \cdot \sin(\alpha + \beta) + y_C \cdot \cos(\alpha + \beta) + R_g + x_E \cdot \sin \beta - y_A \cdot \cos(\alpha + \beta) = 0$

Donc :  $x_D \text{ / mm} = \frac{x_E \cdot \sin \beta + (y_C - y_A) \cdot \cos(\alpha + \beta) + R_g}{\sin(\alpha + \beta)} - x_C$

D'où  $d_1 = x_E$

$d_3 = R_g$

$d_2 = y_C - y_A$

$d_4 = x_C$

Q10 - Gain  $K_D$  tel que  $x_D = K_D \alpha$

On a :  $x_D = K_D \cdot \alpha$

Et donc  $K_D \approx \frac{0,9 - 0}{0,04 - 0} \approx 22,5 \text{ mm/rad} \approx 0,0225 \text{ m/rad}$

Q11 - Ouverture  $d$  en fonction de l'angle moteur  $\theta_3$ . Variation minimale  $\Delta \theta_3$  mesurable et variation minimale  $\Delta d$  correspondante (expressions littérales uniquement)

On a :  $x_D = \frac{p_m}{2\pi} \cdot \theta_3$  et  $d = a \cdot \alpha + b = a \cdot \frac{1}{K_D} \cdot x_D + b$

Et donc  $d = \frac{a}{K_D} \cdot \frac{p_m}{2\pi} \cdot \theta_3 + b$  donc  $\Delta d = \frac{a}{K_D} \cdot \frac{p_m}{2\pi} \cdot \Delta \theta_3$

Avec  $\Delta \theta_3 = \frac{2\pi}{2^{14}}$  (codage sur 14 bits pour le codeur).

Q12 - Vitesse de rotation  $\omega_{4/0}$  en fonction de la vitesse  $\dot{\alpha}$ . Gain  $K_G$  tel que  $\omega_{4/0} = K_G \dot{\alpha}$

Condition de roulement sans glissement:  $\vec{V}_{IE4/1} = \vec{0}$

Résultat Q4:  $\vec{V}_{2/0} = \vec{0}$

donc  $\vec{V}_{IE4/0} - \vec{V}_{IE1/0} = \vec{0}$

$$\text{D'où } \vec{V}_{IE4/0} = \vec{V}_{IE4/2} + \underbrace{\vec{V}_{IE2/0}}_{\dot{x}_0 \cdot \vec{x}_0 \text{ (translation)}} = \vec{V}_{CE4/2} + \underbrace{\vec{IC}_2}_{-R_g \cdot \vec{y}_2} \wedge \underbrace{\vec{\Omega}_{4/2}}_{\omega_{4/0} \cdot \vec{z}_2} + \dot{x}_0 \cdot \vec{x}_0$$

$$\vec{V}_{IE4/0} = -R_g \cdot \omega_{4/0} \cdot \vec{x}_2 + \dot{x}_0 \cdot \vec{x}_0 \quad \text{où } \dot{x}_0 = K_D \dot{\alpha}$$

$$\text{Et } \vec{V}_{IE1/0} = \underbrace{\vec{VAE1/0}}_{-x_E \cdot \vec{x}_2 - x_E \cdot \vec{y}_1} + \underbrace{\vec{IA}}_{x_E \cdot \vec{y}_2} \wedge \underbrace{\vec{\Omega}_{1/0}}_{\dot{\alpha} \cdot \vec{z}_0} = x_E \cdot \dot{\alpha} \cdot \vec{y}_2 + x_E \cdot \dot{\alpha} \cdot \vec{y}_1$$

Donc:  $\omega_{4/0} = \frac{1}{R_g} \cdot \left[ K_D \cdot \cos(\alpha + \beta) - x_E \cdot \sin \beta \right] \cdot \dot{\alpha} = \frac{K_D \cdot \cos \beta - x_E \cdot \sin \beta}{R_g} \cdot \dot{\alpha}$   
 (proj° sur  $\vec{x}_2$ )

Q13 - Énergie cinétique  $E_c(\Sigma/0)$  de l'ensemble  $\Sigma = \{1, 1', 2, 3, 4, 4'\}$

$$E_c(\Sigma/0) = 2 \cdot \left( \frac{1}{2} \cdot I_1 \cdot \dot{\alpha}^2 \right) + \left( \frac{1}{2} \cdot m_2 \cdot \dot{x}_0^2 \right) + \frac{1}{2} \cdot I_3 \cdot \dot{\theta}_3^2 + 2 \cdot \left( \frac{1}{2} \cdot m_4 \cdot \dot{x}_0^2 + \frac{1}{2} \cdot I_4 \cdot \omega_{4/0}^2 \right)$$

Avec:  $\omega_{4/0} = K_G \cdot \dot{\alpha}$  et  $\dot{x}_0 = \frac{p \cos}{2 \cdot \pi} \cdot \dot{\theta}_3$

$\dot{x}_0 = K_D \cdot \dot{\alpha}$  donc  $\dot{\alpha} = \frac{1}{K_D} \cdot \frac{p \cos}{2 \cdot \pi} \cdot \dot{\theta}_3$

et  $\omega_{4/0} = \frac{K_G}{K_D} \cdot \frac{p \cos}{2 \cdot \pi} \cdot \dot{\theta}_3$

Q14 - Inertie équivalente  $J_{eq}$  rapportée sur l'axe moteur

$$E_c(\Sigma/0) = \frac{1}{2} \cdot \left[ I_3 + 2 \cdot I_1 \cdot \left( \frac{1}{K_D} \cdot \frac{p \cos}{2 \cdot \pi} \right)^2 + (m_2 + 2m_4) \cdot \left( \frac{p \cos}{2 \cdot \pi} \right)^2 + 2 \cdot I_4 \cdot \left( \frac{K_G}{K_D} \cdot \frac{p \cos}{2 \cdot \pi} \right)^2 \right] \cdot \dot{\theta}_3^2 = J_{eq} \cdot \dot{\theta}_3^2$$

Q15 - Puissance galiléenne des actions extérieures à l'ensemble  $\Sigma$

$$P_{ext} = C_m \cdot \dot{\theta}_3 - 2 \cdot C_r \cdot \alpha \cdot \dot{\alpha} - F_0 \cdot \vec{y}_0 \cdot \vec{V}_{EE1/0} + F_0 \cdot \vec{y}_0 \cdot \vec{V}_{E'E1/0} + F_0 \cdot \vec{y}_0 \cdot \vec{V}_{BE1/0} - F_0 \cdot \vec{y}_0 \cdot \vec{V}_{B'E1/0}$$

où  $\vec{V}_{EE1/0} = \vec{VAE1/0} + \vec{EA} \wedge \vec{\Omega}_{1/0} \approx -x_E \cdot \vec{x}_0 \wedge (\dot{\alpha} \cdot \vec{z}_0) = +x_E \cdot \dot{\alpha} \cdot \vec{y}_0$

Et  $\vec{V}_{BE1/0} = \vec{VAE1/0} + \vec{BA} \wedge \vec{\Omega}_{1/0} \approx -(x_B \cdot \vec{x}_0 + y_B \cdot \vec{y}_0) \wedge (\dot{\alpha} \cdot \vec{z}_0) \approx x_B \cdot \dot{\alpha} \cdot \vec{y}_0 + \dots \cdot \vec{x}_0$

Donc:  $P_{ext} = C_m \cdot \dot{\theta}_3 - 2 \cdot C_r \cdot \alpha \cdot \dot{\alpha} - 2 \cdot F_0 \cdot x_E \cdot \dot{\alpha} + 2 \cdot F_0 \cdot x_B \cdot \dot{\alpha}$

**Consignes**

- Remplir soigneusement l'en-tête de chaque feuille avant de commencer à composer
- Rédiger avec un stylo non effaçable bleu ou noir
- Ne rien écrire dans les marges (gauche et droite)
- Numéroté chaque page (cadre en bas à droite)
- Placer les feuilles A3 ouvertes, dans le même sens et dans l'ordre

**Q16 - Puissance des actions intérieures à l'ensemble  $\Sigma$**

$$P_{int} = -C_f \cdot \dot{\theta}_3^2 \quad (\text{autres puissances nulles})$$

Q17 -  $C_{eq}$ ,  $f_{eq}$ ,  $l_u$  et  $l_o$  tels que  $J_{eq} \ddot{\theta}_3 + f_{eq} \dot{\theta}_3 + C_{eq} \theta_3 = -l_u F_u + l_o F_o + C_m$

Donc :  $C_m \cdot \dot{\theta}_3 - C_f \cdot \dot{\theta}_3^2 - 2 \cdot C_r \cdot \alpha \cdot \dot{\alpha} - 2 \cdot F_0 \cdot x_E \cdot \dot{\alpha} + 2 \cdot F_0 \cdot x_B \cdot \dot{\alpha} = J_{eq} \cdot \ddot{\theta}_3 \cdot \dot{\theta}_3$

Et :  $\dot{\alpha} = \frac{1}{k_b} \cdot \frac{p_{02}}{2 \cdot \pi} \cdot \dot{\theta}_3$

Donc :  $C_m \cdot \dot{\theta}_3 - C_f \cdot \dot{\theta}_3^2 - 2 \cdot C_r \cdot \left[ \frac{1}{k_b} \cdot \frac{p_{02}}{2 \cdot \pi} \right]^2 \cdot \dot{\theta}_3 \cdot \dot{\theta}_3 - 2 \cdot F_0 \cdot x_E \cdot \frac{1}{k_b} \cdot \frac{p_{02}}{2 \cdot \pi} \cdot \dot{\theta}_3 + 2 \cdot F_0 \cdot x_B \cdot \frac{1}{k_b} \cdot \frac{p_{02}}{2 \cdot \pi} \cdot \dot{\theta}_3 = J_{eq} \cdot \dot{\theta}_3 \cdot \ddot{\theta}_3$

$$J_{eq} \cdot \ddot{\theta}_3 + \underbrace{C_f}_{f_{eq}} \cdot \dot{\theta}_3 + \underbrace{2 \cdot C_r \cdot \left[ \frac{1}{k_b} \cdot \frac{p_{02}}{2 \cdot \pi} \right]^2}_{C_{eq}} \cdot \dot{\theta}_3 = C_m - \underbrace{2 \cdot x_E \cdot \frac{1}{k_b} \cdot \frac{p_{02}}{2 \cdot \pi}}_{l_u} \cdot F_0 + \underbrace{2 \cdot x_B \cdot \frac{1}{k_b} \cdot \frac{p_{02}}{2 \cdot \pi}}_{l_o} \cdot F_0$$

**Q18 - Couple moteur dans le cas de la pince maître**

En statique :

$$C_m = C_{eq} \cdot \theta_3 + l_o \cdot F_0$$

**Q19 - Couple moteur dans le cas de la pince esclave**

$$C_m = C_{eq} \cdot \theta_3 - l_o \cdot F_0$$

Q20 - Validation du moteur en téléopération

Au maximum, il faut un couple moteur de 7 mN.m pour un effort maximal de l'utilisateur de 5 N (id 2.1.1.1).

Pour id 1.4.1, il faut avoir une alimentat° USB telle que  $I_{max} = 1,5$  A ce qui permet un couple  $C_{max} = I_{max} \cdot K_c \approx 5,25$  mN.m  $< 7$  mN.m donc le choix du moteur n'est pas valide.

Q21 - Couple moteur  $C_m$  en fonction de  $C_{eq}$  et de  $C_a$ , puis en fonction de  $C_r$  et de  $C_a$

Par soustraction:  $C_m = \left[ C_{eq} - 2 \cdot C_a \cdot \left[ \frac{p_{no}}{2 \cdot \pi \cdot k_b} \right]^2 \right] \cdot \vartheta_3$

Et  $C_{eq} = 2 \cdot C_r \cdot \left[ \frac{p_{no}}{2 \cdot \pi \cdot k_b} \right]^2$  donc  $C_m = 2 \cdot (C_r - C_a) \cdot \left[ \frac{p_{no}}{2 \cdot \pi \cdot k_b} \right]^2 \cdot \vartheta_3$

Q22 - Intensité moteur  $i$  en fonction de  $C_r$  et de  $C_a$ . Valeur de  $i$  pour  $C_a = C_r$

On sait que  $C_m = K_c \cdot i$  donc  $i = \frac{1}{K_c} \cdot \left[ 2 \cdot (C_r - C_a) \right] \cdot \left[ \frac{p_{no}}{2 \cdot \pi \cdot k_b} \right]^2 \cdot \vartheta_3$

Pour  $C_r = C_a$ , on a:  $i = 0$

Q23 - Fonction de transfert  $H_4(p)$  et fonctions de transfert  $H_1(p)$ ,  $H_2(p)$  et  $H_3(p)$

$$\left[ J_{eq} \cdot p^2 + f_{eq} \cdot p + C_{eq} \right] \cdot \vartheta_3(p) = \frac{\varepsilon_c(p)}{\frac{C_m(p) - l_v \cdot F_0(p)}{+ b \cdot F_0(p)}}$$

$$\Omega_3(p) = p \cdot \vartheta_3(p) = \frac{p}{C_{eq} + f_{eq} \cdot p + J_{eq} \cdot p^2} \cdot \varepsilon_c(p)$$

Et donc:  $H_4(p) = \frac{1}{p}$ ;  $H_1(p) = + l_v$ ;  $H_2(p) = + b$

et  $H_3(p) = \frac{p}{C_{eq} + f_{eq} \cdot p + J_{eq} \cdot p^2}$

Q24 - Écart  $\varepsilon_p(p)$  en fonction de  $d_c(p)$  et de  $d(p)$ . Gain  $K_{conv}$  pour asservir correctement

$$\bullet \varepsilon_p(p) = K_{conv}(p) \cdot (d_c(p) - b) - K_{jauge} \cdot \frac{1}{R_6} \cdot (d(p) - b)$$

$\uparrow$   
 car  $d(p) = c(p) \cdot R_6 + b$

• Il faut que  $\varepsilon_p(p) = 0$  lorsque  $d(p) = d_c(p)$ .

Il faut donc que  $K_{conv}(p) = \frac{K_{jauge}}{R_6}$ .

Q25 - Fonction de transfert en boucle ouverte (boucle de courant) non corrigée :  $H_{BOI}(p)$ .

Expressions de  $a_1, a_2, a_3, a_4$  et de  $a_5$

$$H_{BOI}(p) = \frac{I(p)}{U_m(p)} = \dots \quad \text{où} \quad I(p) = \frac{1}{R+L \cdot p} \cdot (U_m(p) - E(p))$$

$$\text{et} \quad E(p) = K_e \cdot \frac{p}{C_{eq} + f_{eq} \cdot p + j_{eq} \cdot p^2} \cdot I(p)$$

$$\text{Donc : } I(p) \cdot \left[ 1 + \frac{1}{R+L \cdot p} \cdot \frac{K_e \cdot p}{C_{eq} + f_{eq} \cdot p + j_{eq} \cdot p^2} \right] = \frac{1}{R+L \cdot p} \cdot U_m(p)$$

$$\begin{aligned} \text{Donc : } \frac{I(p)}{U_m(p)} &= \frac{\frac{1}{R+L \cdot p}}{1 + \frac{1}{R+L \cdot p} \cdot \frac{K_e \cdot p}{C_{eq} + f_{eq} \cdot p + j_{eq} \cdot p^2}} \\ &= \frac{C_{eq} + f_{eq} \cdot p + j_{eq} \cdot p^2}{R \cdot C_{eq} + (K_e^2 + C_{eq} \cdot L + R \cdot f_{eq}) \cdot p + (L \cdot f_{eq} + R \cdot j_{eq}) \cdot p^2 + L \cdot j_{eq} \cdot p^3} \\ &= \frac{1}{R} \cdot \frac{1 + \frac{f_{eq}}{C_{eq}} \cdot p + \frac{j_{eq}}{C_{eq}} \cdot p^2}{1 + \frac{K_e^2 + C_{eq} \cdot L + R \cdot f_{eq}}{R \cdot C_{eq}} \cdot p + \frac{L \cdot f_{eq} + R \cdot j_{eq}}{R \cdot C_{eq}} \cdot p + \frac{L \cdot j_{eq}}{R \cdot C_{eq}} \cdot p^3} \end{aligned}$$

$a_1$        $a_2$        $a_3$        $a_4$        $a_5$

Q26 - Gain  $K_{pl}$  permettant de respecter l'exigence de précision

On veut une erreur inférieure à 5% avec :

$$\begin{aligned} FTBF_I(p) &= \frac{I(p)}{I_c(p)} = \frac{I(p)}{U_m(p)} \cdot \frac{U_m(p)}{I_c(p)} \\ &= H_{BOI}(p) \cdot \frac{K_{PI} \cdot (I_c(p) - I(p))}{I_c(p)} \\ &= H_{BOI}(p) \cdot K_{PI} - FTBF_I(p) \cdot K_{PI} \cdot H_{BOI}(p) \end{aligned}$$

Et donc :  $FTBF_I(p) = \frac{H_{0I}(p) K_{PI}}{1 + K_{PI} \cdot H_{0I}(p)}$

Pour une entrée en échelon :  $I_c(p) = \frac{I_0}{p}$ , on a :

$$\lim_{t \rightarrow +\infty} i(t) = \frac{\frac{1}{R} \cdot K_{PI}}{1 + \frac{1}{R} \cdot K_{PI}} \cdot I_0$$

Et donc :  $\varepsilon = I_0 - \frac{\frac{1}{R} \cdot K_{PI}}{1 + \frac{1}{R} \cdot K_{PI}} \cdot I_0$

$$= \frac{1}{1 + \frac{1}{R} \cdot K_{PI}} \cdot I_0$$

L'erreur relative est donc :  $\varepsilon_r = \frac{1}{1 + \frac{1}{R} \cdot K_{PI}} < \underbrace{0,05}_{\varepsilon_{r,max}}$  erreur maximale admissible

Donc  $1 < \varepsilon_{r,max} + \frac{1}{R} \cdot K_{PI} \cdot \varepsilon_{r,max}$

D'où

$$K_{PI} > \frac{1 - \varepsilon_{r,max}}{\varepsilon_{r,max}} \cdot R$$

AN

$$K_{PI} > 55 \Omega$$

19



CONCOURS  
COMMUN

Numéro  
d'inscription

Numéro  
de table

Né(e) le

Nom : \_\_\_\_\_

Prénom : \_\_\_\_\_

Emplacement  
GR Code

Filière : **PSI**

Session : **2024**

Épreuve de : **Sciences Industrielles de l'Ingénieur**

Consignes

- Remplir soigneusement l'en-tête de chaque feuille avant de commencer à composer
- Rédiger avec un stylo non effaçable bleu ou noir
- Ne rien écrire dans les marges (gauche et droite)
- Numéroté chaque page (cadre en bas à droite)
- Placer les feuilles A3 ouvertes, dans le même sens et dans l'ordre

PSI7SI

### Q29 - Cas d'assistance du moteur et cas d'opposition

— Trait plein : pas d'assistance  
( $C_a = 2,2 \text{ N.m}$ )

— Pointillés :  $i < 0$  donc  $C_m < 0$  et  $E_c = C_m - \omega \cdot F_u$  et  $\omega < 0$   
( $4,4 \text{ N.m}$ )

Signes opposés, le moteur s'oppose à l'utilisateur

— Traits :  $i > 0$  donc  $C_m > 0$ , donc il y a assistance.  
( $1,1 \text{ N.m}$ )

### Q30 - Raideur naturelle $C_r$ de la pince

Lorsque  $i = 0$ ,  $C_m = 0$  et donc  $C_a = C_r = 2,2 \text{ N.m/rad}$ .

### Q31 - Justification du choix $C_p(p) = -1$ et respect de l'exigence de précision

On donne  $K_{jarsp} = -15\,367 \text{ inc/rad} < 0$ .

Or il faut que  $I_c > 0$  si  $a > 0$  et  $d_c = b$ .

Il faut donc que  $C_p(p) < 0$  car  $I_c(p) = C_p(p) \cdot (N(p) - N_c(p))$ .

**NE RIEN ÉCRIRE DANS CE CADRE**

Q35 - Montrer que le système est précis pour une entrée en échelon.

$$\text{On a ici : FTBF}(p) = \frac{d(p)}{d_c(p)} = \frac{K_{jauge}}{b/c} \cdot \frac{G(p) \cdot \frac{K_A}{P}}{1 + G(p) \cdot \frac{K_A}{P} \cdot K_{jauge}} \quad //$$

$$\text{On a donc : } \lim_{p \rightarrow 0^+} \text{FTBF}(p) = \lim_{p \rightarrow 0^+} \frac{K_{jauge} \cdot K_{FP} \cdot \frac{K_A}{P}}{1 + K_{jauge} \cdot K_{FP} \cdot \frac{K_A}{P}} = 1$$

Pour une entrée en échelon :  $d_c(p) = \frac{d_0}{p}$ , on a pour la

$$\text{sortie : } \lim_{t \rightarrow +\infty} d(t) = \lim_{p \rightarrow 0^+} p \cdot d(p)$$

$$= \lim_{p \rightarrow 0^+} p \cdot \text{FTBF}(p) \cdot \frac{d_0}{p} \quad \text{d}_c(p)$$

$$= d_0 \quad \text{et donc l'erreur sera bien nulle.}$$

Q36 - Commentaires courbes et justification performances du retour haptique. Comparaison tensions et intensités

- De  $t=0$  à  $t=0,1$  s :
  - ⊗ pince ouverte et immobile
  - ⊗ pas de forces exercées par l'utilisateur
  - ⊗ pas d'assistance avec le moteur
  
- De  $t=0,1$  s à  $t=0,12$  s :
  - ⊗ la pince se referme sous l'action de l'utilisateur
  - ⊗ pas de résistance de la part du moteur car  $d > d_0$
  - ⊗ tension créée par "tension contre-électromotrice" (fonctionnement en génératrice du moteur)
  
- Pour  $t > 0,12$  s :
  - ⊗  $i < 0$
  - ⊗  $v < 0$  } alimentation du moteur car  $d < d_0$
  - ⊗ il y a bien retour haptique (résistance créée par le moteur)

⊗ Dans le pire des cas, je retiens:  $i = -0,85$  A et  $v = -2,2$  V.

Le diagramme de définition de blocs donne:  $i_n = 0,915$  A  $> i$   
 $v_n = 4,5$  V  $> v$ !

Le moteur et l'alimentation permettent alors le retour haptique souhaité.

Q37 - Expression de  $r_1$  et de  $r_2$  pour franchir les transitions

$r_1$ :  $\cos = 1$  ou mieux  $\uparrow \cos$  ou encore mieux when ( $\uparrow \cos$ )  
 $r_2$ :  $\cos = 1$  " "  $\uparrow \cos$  " " " " " "  
 Au front montant

Q38 - Expression de  $r_3$ ,  $r_4$  et de  $r_5$  pour franchir les transitions

- $r_3$ : when ( $F_0 > F_{0,max}$ ) [ $\alpha > \alpha_{max}$ ]
- $r_4$ : when ( $F_0 > F_{0,max}$ )
- $r_5$ : when ( $\alpha < \alpha_{max}$ )